

رفتار کمانشی شمع‌ها در خاک‌های روانگرا*

جواد هدایتی^(۱)مسعود سلطانی محمدی^(۲)محمود یزدانی^(۳)

چکیده شمع‌ها در واقع ستون‌های لاغری هستند که به صورت جانبی متکی به خاک پیرامون خود می‌باشند. شمع‌هایی که از لايه‌های خاک روانگرا عبور می‌کنند، در اثر روانگرایی حاصل از زلزله، تکیه‌گاه جانبی خود را تا حد زیادی از دست می‌دهند. در این حالت شمع می‌تواند همانند ستون حمایت نشده، آمادگی برای ناپایداری محوری داشته باشد. این ناپایداری می‌تواند به کمانش جانبی شمع درجهت ضعیفتر و ایجاد مفصل موسمان بیانجامد. در سالیان گذشته موردهای زیادی از گسیختگی پی شمعی پل‌ها و ساختمان‌ها در اثر روانگرایی لايه‌های خاک پس از زلزله گزارش شده که فروریزش سازه‌های متکی به آنها را به همراه داشته است، در حالی که این شمع‌ها بیشتر بر مبنای آینین‌نامه‌های معتبری همچون JRA و NEHRP طراحی شده بودند. بنابراین، به نظر می‌رسد رفتار این گونه شمع‌ها و روش تحلیل آن‌ها به طور کامل شناخته شده نیست. در این پژوهش برای محاسبه ظرفیت کمانشی شمع‌ها در خاک‌های لايه‌ای روانگرا، از کمینه کردن کارمایه گرفته کل به روشن‌علوی با در نظر گرفتن تعییر شکل مناسب برای شمع به روش ریلی- ریتز (Rayleigh-Ritz) استفاده شده است. همچنین با ارائه یک روش کاربردی برای ارزیابی کمانشی شمع‌ها در خاک‌های لايه‌ای، رابطه‌هایی برای محاسبه طول مؤثر شمع در خاک‌های روانگرا ارائه شده که به وسیله آن می‌توان با در اختیار داشتن سختی شمع و خاک و نیز ضخامت لایه روانگرا، نیروی کمانشی شمع را به دست آورد. این روش برای شمع‌های امتداد یافته که بیشتر در پایه پل‌ها به کار می‌رود نیز به کار می‌رود.

واژه‌های کلیدی شمع، کمانش، کارمایه نهفته کل، خاک روانگرا، طول مؤثر

Buckling Behavior of Piles in Liquefiable Soils

J. hedayati

M. soltani Mohammadi

M. Yazdani

Abstract In the realistic manner, piles are similar to the slender columns that soil around them acts as a lateral support. The piles situated in the liquefiable soil layers, loss their lateral supports due to the liquefaction resulted from the seismic ground motion. In this case, pile has the potency of axial instability similar to the unsupported columns. This instability can lead to the lateral buckling of the piles in the eak direction and creating the plastic hinges in the pile's badly. Many failures that accrue in the piles and their supported structures, due to the liquefaction of soils after earthquakes has been reported. These piles were designed based on the creditable codes such as JRA and NEHRP. So it seems that the behavior and analysis methods of piles are still unknown. This research attempts to predict the buckling capacity of the piles in layered liquefiable soils, using a numerical method in which Rayleigh-Ritz approach was employed to minimize total potential energy. Furthermore, a new practical approach has been presented to calculate effective buckling length of pile in liquefiable soils. By the means of this approach the buckling capacity of pile could be obtained while the stiffness of pile and soil are accessible. This method can be also applied to the extended pile shafts in the bridge piers.

Key Words Pile, Buckling, Total Potential Energy, Liquefiable Soil, Effective Length.

*نسخه اول مقاله در تاریخ ۱۳۸۸/۷/۱ و نسخه‌ی نهایی آن در تاریخ ۱۳۹۱/۱/۱۶ به دفتر نشریه رسیده است.

(۱) نویسنده‌ی مسئول، دانشجوی دکترای مهندسی زلزله، دانشگاه تربیت مدرس

(۲) دانشیار، گروه مهندسی زلزله، دانشگاه تربیت مدرس

(۳) استادیار، گروه مهندسی خاک و پی، دانشگاه تربیت مدرس

به اینکه کمانش شمع به صورت ناگهانی و بدون نشانه مشخص خطر از پیش رخ می دهد، بررسی پایداری شمع در اثر کمانش و محاسبه ظرفیت کمانشی شمع امری ضروری می باشد [4]. در سالیان اخیر روش های مختلف آزمایشگاهی و عددی برای بررسی رفتار کمانشی شمع، مورد استفاده قرار گرفته است. بهاتچاریا و بولتون [3,5] به بررسی خرابی شمع ها در خاک های روانگرا پرداخته و ناهمانگی بین یافته های دیگر پژوهشگران در خرابی شمع ها را با وضعیت و چگونگی خرابی واقعی آنها مورد بررسی قرار داده اند. برای نمونه یکی از خرابی های مورد بررسی، چگونگی خرابی شمع های پل شووا در اثر زلزله ۱۹۶۴ نیکاتا بوده است. بسیاری از پژوهشگران مانند هاما در سال ۱۹۹۲ [6] و ایشی هارا در سال ۱۹۹۳ [7]، خرابی این پل را گسترش جانی دانسته اند. وضعیت این پل پس از خرابی در شکل (۱) و نمای خرابی آن در شکل (۲) مشاهده می شود.

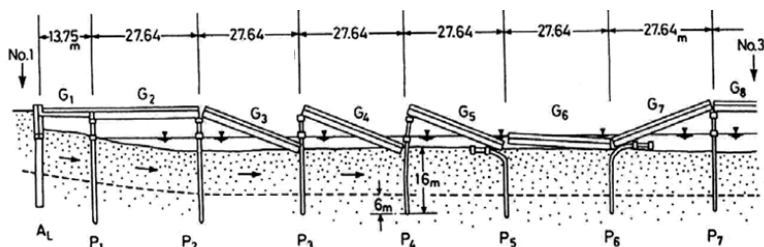


شکل ۱ خرابی پل شووا در زلزله نیگاتا [3]

مقدمه

کاربرد شمع در سازه ها، دارای طیف بسیار گسترده ای است که از موردها استفاده آنها می توان به پی پله، پی ساختمان های بلند ساخته شده در در زمین های سست، پی اسکله ها و ... اشاره کرد [1]. پی های شمعی برای انتقال بار از خاک های سست به لایه های مقاوم در زرفا های بیشتر به کار می روند. بخشی از این انتقال بار به وسیله مقاومت اصطکاکی در طول شمع و بخشی دیگر با کمک مقاومت نوک شمع انجام می شود (شمع های اتکایی). با توجه به کاربرد گسترده شمع ها در سازه های مختلف، بررسی آن در بارهای جانبی مانند زلزله اهمیت ویژه ای پیدا می کند. خرابی های ایجاد شده در شمع ها در اثر زلزله به گونه ای بیان گر کاستی هایی است که در طراحی و یا ساخت آنها وجود داشته است. بررسی خرابی ها و انجام مطالعات پس از روی دادن زلزله همواره منجر به پیشرفت در تحلیل و طراحی و توسعه ضابطه های مناسب تر در اجرا شده است. این پیشرفت ها و تغییرات در آئین نامه ها به طور گام به گام پس از هر زلزله صورت گرفته که برای نمونه می توان به تغییرات ایجاد شده در آئین نامه Japanese Road Association (JRA) [2] پس از زلزله کوبه اشاره کرد [3].

شمع هایی که از لایه های خاک روانگرا عبور می کنند در اثر روانگرایی حاصل از زلزله، نیروی جانبی کمتری به آنها وارد می شود. در این حالت شمع می تواند همانند ستون حمایت نشده، آماده ناپایداری محوری باشد. این ناپایداری می تواند به کمانش جانی شمع در جهت ضعیفتر و ایجاد مفصل موسمان بیانجامد. با توجه

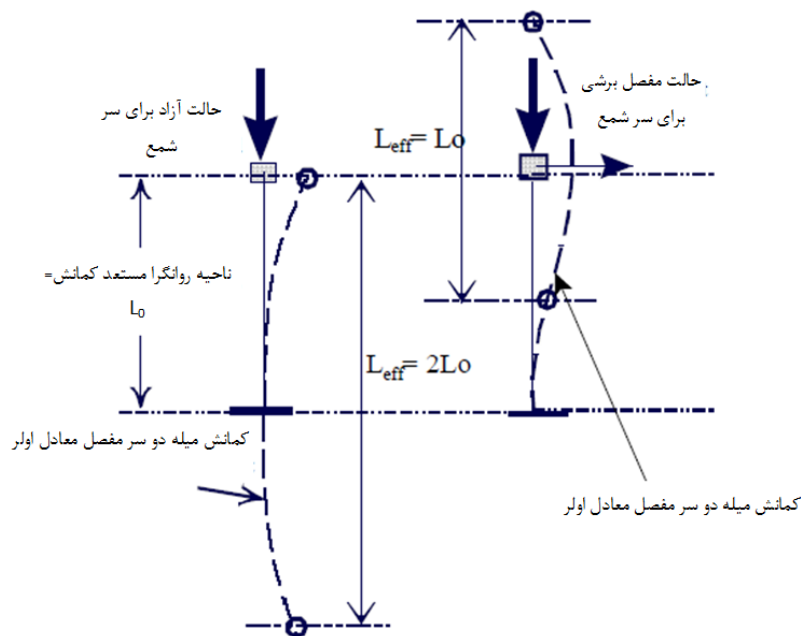


شکل ۲ نمایی از انحراف تیرهای پل شووا [3]

طول مؤثر شمع در خاک روانگرا را در حالت آزاد برای سر شمع، دو برابر ضخامت لایه روانگرا و برای حالت مفصل برشی برای سر شمع برابر ضخامت لایه روانگرا در نظر گرفته اند. این مقدارها بر اساس نظریه پایداری ستون ها و برابر شکل (۲) در نظر گرفته شده اند.

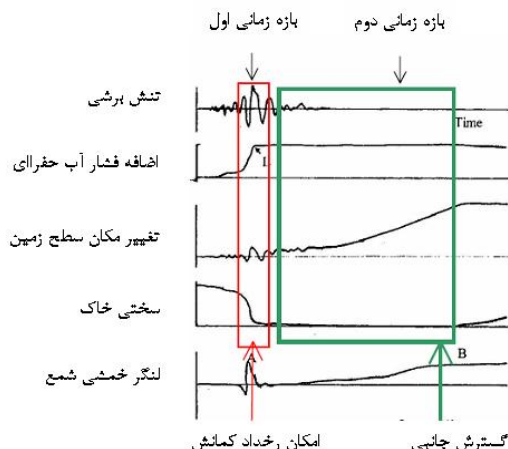
کومار و همکاران [9] با در نظر گرفتن گونه های مختلف خاک و ابعاد مختلف برای شمع با وارد کردن بار خروج از مرکز به بررسی رفتار کمانشی شمع در شرایط آزمایشگاهی پرداختند. شرایط تکیه گاهی در نظر گرفته شده برای سر شمع مفصلی و برای نوک شمع گیردار بوده است. آنها بر اساس تئوری پایداری ستون ها ضریب طول مؤثر شمع را برابر $7/4$ ضخامت لایه روانگرا در نظر گرفتند. شانکر و همکاران [10] در سال ۲۰۰۷ با کمک روش شبیه اجزای محدود به الگوسازی شمع در خاک های روانگرا پرداخته اند و عمق لایه روانگرا، سختی سازه شمع، لاگری شمع و شرایط تکیه گاهی را عامل های موثر در کمانش شمع معرفی کردند.

بهاتاچاریا و بولتون در پژوهش های خود به این نکته تمکز کرده اند که شمع شماره P5 در جهت چپ و شمع شماره P6 در جهت راست تغییر شکل داده است. اگر علت خرابی شمع ها گسترش جانبی بوده باشد، شمع ها باید در جهت شبیه تغییر شکل می دادند. افزون بر این در شمع های نزدیک ساحل رودخانه خرابی مشاهده نشده، در حالی که گسترش جانبی در این ناحیه بسیار شدید بوده است. همچنین در اثر گسترش جانبی می بایست مفصل پلاستیک در سطح بین لایه روانگرا و غیر روانگرا ایجاد شود. ولی همان طور که مشاهده می شود در سه شمع این مفصل در بالای شمع ایجاد شده است. بنابراین، بر اساس نکته هایی که آورده شد، این دو پژوهشگر علت خرابی شمع های پل شووا را کمانش معرفی کرده اند. بهاتاچاریا همچنین با بررسی خرابی شمع های مختلف عبور کننده از لایه های خاک با آمادگی روانگرایی و نیز انجام آزمایش های مختلف، حد لاگری ۵۰ را برای رخ ندادن کمانش شمع پیشنهاد داده است [3,5]. بهاتاچاریا و همکاران [8] در پژوهش های خود



شکل ۳ میزان طول مؤثر شمع برای شرایط مرزی گوناگون [8]

گسترش جانبی، ممکن است در یک لحظه، اتکای جانبی شمع از بین برود و در اثر کاهش تنش های مؤثر و مقاومت برشی خاک، کمانش در شمع رخ دهد [3]. همچنین در محدوده زمانی دوم، پس از زلزله، روانگرایی منجر به افزایش چشم گیر تغییر مکان سر شمع نسبت به حالت غیرروانگرا می شود. اگر پس از روانگرایی، مقاومت باقی مانده خاک از تنش های برشی ایستای پدید آمده در اثر شیب یا یک سطح آزاد مانند ساحل رودخانه کمتر باشد، گسترش جانبی قابل توجه یا جابجایی شیب، ممکن است روی بدده. در هنگام گسترش جانبی، توده خاک می تواند فشارهای ویران کننده ای را روی شمع ها وارد کند که منجر به خرابی کامل آنها شود [12]. در طول زمین لرزه های ۱۹۶۴ نیگاتا، ۱۹۶۴ آلاسکا و ۱۹۹۵ کوبه، خرابی های بسیاری در سازه های متکی به شمع به ویژه پل ها رخ داده است، به طوری که در زلزله ۱۹۶۴ آلاسکا بیش از ۲۵۰ پل در اثر روانگرایی و حرکت جانبی زمین آسیب دیده اند [13].



شکل ۴ تاریخچه زمانی عامل های مختلف بر اساس پژوهش های یاسودا و بریل [3]

رفتار کمانشی شمع در خاک تک لایه
گبر و همکاران [4] برای بررسی رفتار کمانشی شمع ها در خاک تک لایه، توزیع ضربی واکنش افقی بستر خاک در

برای الگوسازی عددی کمانش شمع روش های مختلفی استفاده شده است. از آن جمله می توان به استفاده از الگو وینکلر برای الگوسازی اندرکش شمع و خاک در خاک های روانگرا [11] و کمینه کردن کارمایه نهفته کل و محاسبه بار کمانشی شمع در خاک تک لایه [4] اشاره کرد. پژوهش های انجام شده در زمینه بررسی ظرفیت کمانشی شمع ها در خاک های چند لایه بسیار محدود و بیشتر با ساده سازی های بسیاری همراه بوده است [10]. هدف از این پژوهش ارائه روش ساده و کاربردی برای محاسبه طول موثر شمع در خاک های چند لایه شامل لایه روانگرا می باشد که در آن اثر لایه های خاک غیر روانگرا در بالا و پایین لایه روانگرا در محاسبه طول مؤثر منظور می شود.

سازوکار روانگرایی و اثرهای آن بر شمع ها

تکان های شدید زلزله در ماسه های سست و بدون چسبندگی با سیلت کم که در زیر سطح سفره آب زیرزمینی قرار دارند، موجب افزایش فشار زیاد آب منفذی یا روانگرایی می شود. افزایش فشار آب منفذی منجر به از بین رفتن قابل توجه مقاومت و سختی خاک می شود. طراحی لرزه ای شالوده شمعی در خاک های روانگرا، مسئله ها و مشکل های بسیار پیچیده ای را در تحلیل و طراحی پدید می آورد. در خاک های با آمادگی روانگرایی، حتی پیش از آن که خاک به حالت روانگرایی کامل و سختی خاک به کمترین مقدار برسد، شالوده شمعی ممکن است در برابر تکان های قابل توجهی قرار گیرد. در طول زمان تکان خوردن، شمع آماده هر گونه آسیب (شامل گسترش ترک ها، ایجاد مفصل و در نهایت شکست) می باشد [12]. این آسیب ها را می توان در دو بازه زمانی متفاوت بررسی کرد. اول در طول مدت زلزله و دوم پس از روزی دادن زلزله که در اثر حرکت توده خاک در زمین های شیبدار (گسترش جانبی (Lateral spreading)) می باشد. همان طور که در شکل (۴) مشاهده می شود، حتی در زمین های شیبدار پیش از روزی دادن

x فاصله از ته شمع و y تغییر مکان جانبی شمع است. بنابراین، واکنش خاک که در واحد طول به شمع وارد می‌شود برابر است با مقدار تنش محاسبه شده در رابطه (۲) ضرب در قطر شمع (d):

$$q(x) = pd = m_h d (h - x)^{\omega} \xi^{1-\omega} y \quad kN/m \quad (3)$$

در رابطه (۳) تغییرهای q نسبت به y خطی فرض شده است.

معادله‌های تغییر شکل شمع با در نظر گرفتن گونه‌های مختلف شرایط مرزی بر اساس روش ریلی-ریتز در جدول (۱) ارائه شده است. این معادله‌ها شرایط تکیه‌گاهی را برای دو حالت یاد شده برآورد می‌کنند. میزان n در معادله‌های تغییر شکل، شمار جمله‌های نیم موج تابعهای تغییر شکل است. کارمایه کرنشی سامانه شمع-خاک در اثر خمث شمع و تغییر شکل کشسان خاک (U) و کارمایه نهفته بارهای خارجی (V) به صورت رابطه زیر بیان می‌شود:

$$U + V = \frac{EI}{2} \int_0^L (y'')^2 dx + \frac{1}{2} \int_0^h q(x) y dx - \frac{1}{2} \int_0^L P(x) (y')^2 dx \quad (4)$$

که در آن EI سختی خمثی شمع، L طول کل شمع، h طول داخل در خاک، $P(x)$ نیروی محوری، $y = \frac{dy}{dx}$ و $y'' = \frac{d^2y}{dx^2}$ است.

با توجه به خطی بودن تغییرات اصطکاک جداره شمع نسبت به عمق، میزان $(x)P$ از رابطه زیر به دست می‌آید:

$$P(x) = P \left[1 - \psi \frac{(h-x)^2}{h^2} \right] \quad (x \leq h); \quad P(x) = P \quad (x > h) \quad (5)$$

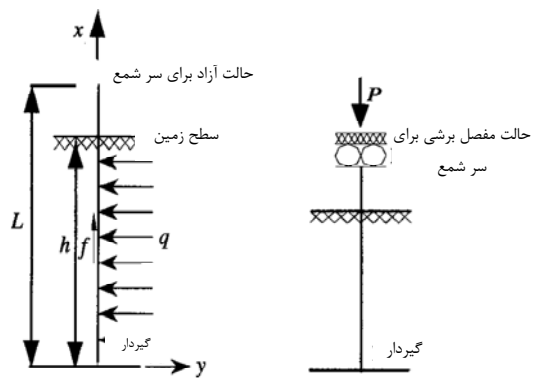
که P نیروی محوری وارد به سر شمع و ψ عامل تأثیر اصطکاک جداره شمع روی نیروی محوری شمع با تغییراتی بین صفر تا یک می‌باشد.

عمق را بر مبنای مطالعات ترزاچی [۱۴] به صورت زیر در نظر گرفتند:

$$k_h = m_h z^{\omega} \xi^{1-\omega} \quad (1)$$

که در آن k_h برابر ضریب افقی واکنش بستر بر حسب $m_h \cdot kN/m^3$ برابر نسبت این ضریب با عمق بر حسب ξ یک مقدار ثابت است که برای برقراری برابری واحدها برابر یک متر در نظر گرفته می‌شود، برابر توان تجربی است که برابر یا بزرگتر از صفر در نظر گرفته می‌شود و z عمق مورد نظر از سطح زمین است [۱۵].

برای محاسبه ظرفیت کمانشی شمع از کمینه کردن کارمایه نهفته کل با در نظر گرفتن تغییر شکل مناسب برای شمع به روش ریلی-ریتز می‌توان بهره گرفت. برای مهار تغییر شکل‌های مختلف برای شمع، نه ترکیب مختلف از شرایط تکیه‌گاهی برای سر و ته شمع می‌توان در نظر گرفت که دو نمونه آن در شکل (۵) مشاهده می‌شود که محتمل‌تر از دیگر ترکیبات می‌باشند.



شکل ۵ شرایط مختلف تکیه‌گاهی برای شمع [۴]

تنش واردہ از طرف خاک به شمع بر اساس روش واکنش بستر به صورت زیر محاسبه می‌شود:

$$p = m_h (h - x)^{\omega} \xi^{1-\omega} y \quad (2)$$

که در آن h طولی از شمع است که در خاک قرار گرفته،

معادله (۹) دارای پاسخ غیر صفر است در صورتی که دترمینان ماتریس ضریب های آن صفر باشد. برای به دست آوردن ماتریس ضریب ها، معادله (۹) را می توان به صورت زیر بازنویسی کرد:

$$[A][C] = 0 \quad (11)$$

که در آن A همان ماتریس ضریب ها است و از رابطه زیر به دست می آید:

$$[A] = [A1]_0^L + \alpha^5 \xi^{1-\omega} [A2]_0^h - \frac{P}{EI} [A3]_0^L + \frac{P\Psi}{EIh^2} [A4]_0^h \quad (12)$$

در رابطه (۱۲) هر یک از ماتریس های $A1$ تا $A4$ ماتریس های $n \times n$ هستند که درایه سطر آن و ستون زام هر یک از آنها به صورت زیر تعریف می شوند:

$$[A1]_{ij} = \int_0^L a_i''(x) a_j''(x) dx \quad (13)$$

$$[A2]_{ij} = \int_0^h (h-x)^\omega a_i(x) a_j(x) dx \quad (14)$$

$$[A3]_{ij} = \int_0^L a_i'(x) a_j'(x) dx \quad (15)$$

$$[A4]_{ij} = \int_0^h (h-x)^2 a_i'(x) a_j'(x) dx \quad (16)$$

در رابطه های بالا $a_i(x)$ جمله آن از تابع های شکل ارائه شده در جدول (۱) است.

حال اگر دترمینان ماتریس A برابر صفر قرار داده شود، مقدارهای مختلف P که هر یک معادل یک مود کمانشی برای شمع هستند، به دست می آید. کمترین مقدار به دست آمده برای P که معادل مود اول کمانش است، همان مقدار P_{cr} یا ظرفیت کمانشی شمع می باشد. با استفاده از این مقدار به راحتی می توان طول موثر شمع را به دست آورد [۴].

رفتار کمانشی شمع در خاک های لایه ای

رابطه های ارائه شده برای بررسی کمانش شمع در بخش قبل برای یک خاک یک لایه بوده است. با توجه به این که در بیشتر موردها شمع از لایه های مختلف خاک با ویژگی های متفاوت عبور می کند، گسترش رابطه های

جدول ۱ تابع های تغییر شکل وابسته به شرایط مرزی متفاوت [۴]

شرایط مرزی		تابع های تغییر شکل
سر (Top)	ته (Tip)	شمع
Free	Fixed	$y(x) = \sum_{n=1}^k c_n \left[1 - \cos\left(\frac{2n-1}{2L}\pi x\right) \right]$
Fixed, Sway	Fixed	$y(x) = \sum_{n=1}^k c_n \left[1 - \cos\left(\frac{n}{L}\pi x\right) \right]$

با جایگذاری رابطه های (۳) و (۵) در معادله (۴) می توان

نوشت:

$$U + V = \frac{EI}{2} \int_0^L (y'')^2 dx + \frac{m_h d \xi^{1-\omega}}{2} \int_0^h (h-x)^\omega y^2 dx - \frac{P}{2} \int_0^L (y')^2 dx + \frac{P\Psi}{2h^2} \int_0^h (h-x)^2 (y')^2 dx \quad (6)$$

برای برقراری تعادل در سامانه، کار مایه کرنشی ذخیره شده باید برابر با کار نیروهای خارجی باشد که به صورت زیر بیان می شود:

$$\delta(U + V) = \frac{\partial(U + V)}{\partial C_i} \delta C_i = 0 \quad (7)$$

که در آن C_i ها ثابت های تابع های شکل هستند و با توجه به این که δC_i ها مقدارهای اختیاری تغییرات تغییر مکان هستند، معادله (۷) را می توان به صورت زیر بازنویسی کرد:

$$\frac{\partial(U + V)}{\partial C_i} = 0 \quad (8)$$

با قرار دادن معادله (۶) در (۸)، این معادله به دست می آید:

$$\int_0^L y'' \frac{\partial y''}{\partial C_i} dx + \alpha^5 \xi^{1-\omega} \int_0^h (h-x)^\omega y \frac{\partial y}{\partial C_i} dx - \frac{P}{EI} \int_0^L y' \frac{\partial y'}{\partial C_i} dx + \frac{P\Psi}{EIh^2} \int_0^h (h-x)^2 y' \frac{\partial y'}{\partial C_i} dx = 0 \quad (9)$$

که α مقدارهای صفر تا n را می گیرد و α سختی نسبی شمع خاک است و به صورت زیر تعریف می شود:

$$\alpha = \sqrt{\frac{m_h d}{EI}} \quad (10)$$

مشخص می‌کنند و P_j و k_{hj} به ترتیب مقدارهای نیروی محوری و ضریب واکنش جانبی هستند که P_j در رابطه (۴) به جای $P(x)$ و k_{hj} در رابطه‌های (۲)، (۳) و (۴) قرار می‌گیرد.

با قرار دادن رابطه تغییر یافته (۴) در معادله (۸) و انجام تابع اولیه گیری و جداسازی، معادله (۱۲) به شکل زیر در می‌آید:

$$[A] = EI[A1]_0^L + d[A2]_0^h - P[A3]_0^h + P[A4]_h^L \quad (۱۹)$$

که درایه‌های ماتریس‌های A1 تا A4 از رابطه‌های زیر به دست می‌آیند:

$$[A1]_{ij} = \int_0^h a_i''(x) a_j''(x) dx \quad (۲۰)$$

$$[A2]_{ij} = \int_0^h S_q(x) a_i(x) a_j(x) dx \quad (۲۱)$$

$$[A3]_{ij} = \int_0^h S_p(x) a_i'(x) a_j'(x) dx \quad (۲۲)$$

$$[A4]_{ij} = \int_h^L a_i'(x) a_j'(x) dx \quad (۲۳)$$

در رابطه‌های بالا مقدارهای $S_q(x)$ و $S_p(x)$ به توزیع k_h و P وابسته هستند و از رابطه‌های زیر محاسبه می‌شوند:

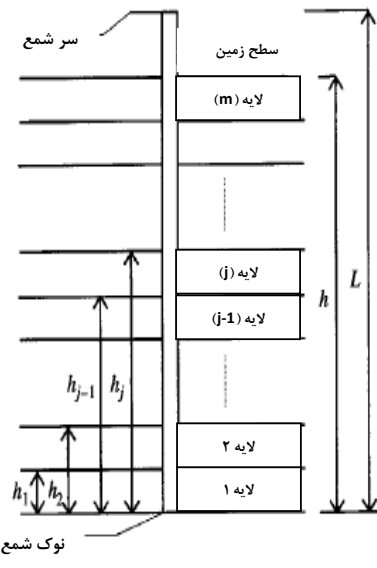
$$S_p(x) = \sum_{j=1}^m r_p(j) (u(x - h_{j-1}) - u(x - h_j)) \quad (۲۴)$$

$$S_q(x) = \sum_{j=1}^m r_q(j) (u(x - h_{j-1}) - u(x - h_j)) \quad (۲۵)$$

که در آن m شمار لایه‌ها؛ h_j فاصله بالای لایه j از کف شمع و u تابع پله‌ای است.

این تابع‌ها به صورت پله‌ای مقدارهای P و k_h را در طول شمع توزیع می‌کنند که به ترتیب در شکل (۷) و شکل (۸) نمونه‌ای از آنها مشاهده می‌شود.

ارائه شده در مرجع [۴] برای خاک چند لایه ضروری به نظر می‌رسد. به این منظور، در این پژوهش این رابطه‌ها برای یک خاک چند لایه گسترش داده شده است و از آن برای الگوسازی رفتار کمانشی شمع‌های عبورکننده از خاک‌های روانگرا و گسترش رابطه‌هایی برای تعیین طول موثر شمع استفاده شده است. نمایی خاک چند لایه در شکل (۶) نشان داده شده است.



شکل ۶ لایه‌بندی خاک

در این حالت، در دو رابطه نسبت به حالت تک لایه‌ای تغییر ایجاد می‌شود. نخست، در رابطه (۱) برای محاسبه توزیع واکنش جانبی در طول شمع، k_h و دوم در رابطه (۵) برای محاسبه توزیع نیروی محوری در شمع، $P(x)$ تغییر می‌کند. برای محاسبه k_h و $P(x)$ در خاک چند لایه یک مقدار k_{h0} و P_0 به عنوان مبدأ در نظر گرفته می‌شود و با کاربرد یک ضریب در هر لایه میزان آن عامل در آن لایه به دست می‌آید. یعنی:

$$p_j = P_0 r_p(j) \quad (۱۷)$$

$$k_{hj} = k_{h0} r_q(j) \quad (۱۸)$$

که در رابطه‌های بالا r_p و r_q آرایه‌هایی هم بعد با شمار لایه‌های خاک هستند که به ترتیب تغییرات نیروی محوری و ضریب واکنش جانبی را در لایه‌های مختلف

که در آن E_0 ضریب تغییر شکل بر حسب MPa، عدد SPT و D قطر شمع بر حسب سانتیمتر است [16].
هنگامی که خاک روانگرا می شود، سختی خاک کاهش می یابد و بر اساس پژوهش های مختلف، این کاهش با کمک یک ضریب کاهنده بیان می شود. ایشی هارا [17] این ضریب را بین ۰/۰۱ تا ۰/۰۱۰۱ متغیر تعریف کرد. توکیماتسو [18] رابطه زیر را بر اساس افزایش تغییر مکان ارائه داد:

$$k_h = k_{hn} \frac{1}{1 + \left| \frac{y_r}{y_1} \right|} \quad (28)$$

که در آن y_r تغییر مکان نسبی بین شمع و خاک و y_1 مقدار مینا برای y_r است.

همچنین، آیین نامه AIJ رابطه زیر را برای تعیین ضریب واکنش بستر در خاک روانگرا پیشنهاد می دهد [19]:

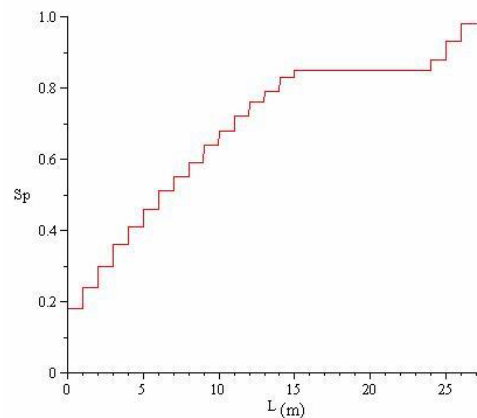
$$k_h = k_{hn} \frac{2\beta}{1 + \left| \frac{y_r}{y_1} \right|} \quad (29)$$

که در آن عامل هایی مانند رابطه (28) تعریف می شوند و مقدار β در خاک روانگرا برابر ۰/۱ می باشد.

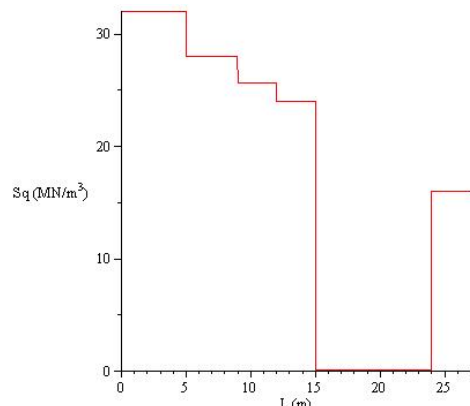
همانطور که دیده می شود سختی خاک پس از روانگرایی کامل بسیار ناچیز بوده و با توجه وابستگی آن به عامل های مختلف می توان در رابطه های طراحی، برای محاسبه بار کمانشی به صورت محافظه کارانه از آن صرف نظر کرد. بنابراین، در این پژوهش برای تعیین بار کمانشی لایه روانگرا بدون سختی منظور می شود.

مقایسه نتیجه های حاصل از کمینه کردن کارمایه نهفته و یک نرم افزار اجزای محدود

برای مقایسه نتیجه های حاصل از کمینه کردن کارمایه



شکل ۷ نمونه ای ازتابع پله ای برای توزیع نیروی محوری در طول شمع



شکل ۸ نمونه ای ازتابع پله ای برای توزیع k_h در طول شمع

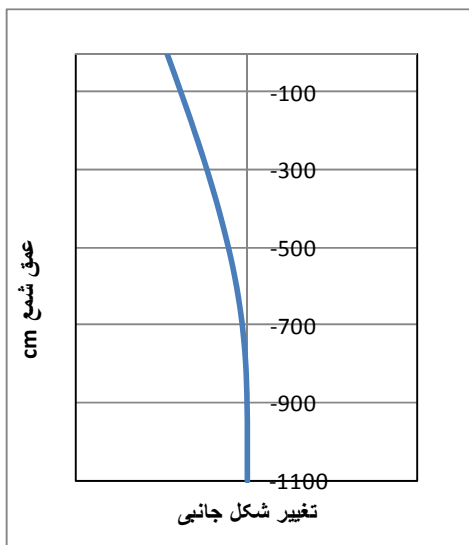
ضریب واکنش بستر در خاک روانگرا

یکی از روش های در نظر گرفتن ضریب واکنش بستر در خاک های مختلف، بیان رابطه آن با عدد SPT است که آن را انجمن معماری ژاپن (AIJ) (Institute of Japan) برای خاک های روانگرا به صورت زیر پیشنهاد کرده است:

$$k_{hn} = 80E_0D^{-0.75} \quad (26)$$

$$E_0 = 0.7N \quad (27)$$

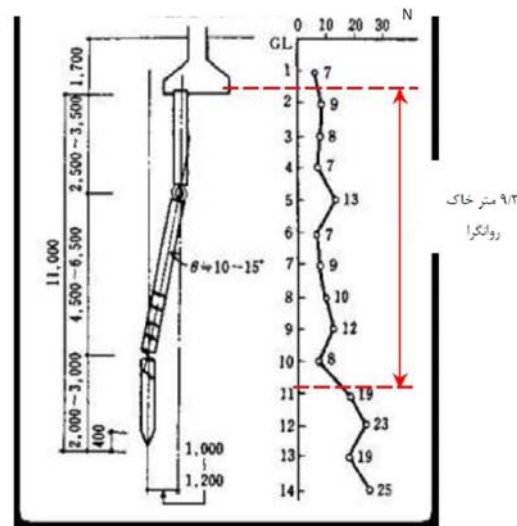
اول کمانش شمع مشاهده می شود.



شکل ۱۰ مود اول کمانشی شمع ساختمان N.H.K با وارد کردن نیروی ۵۷/۲ تن

ب: الگوسازی در نرم افزار
در پژوهش حاضر برای الگوسازی شمع از نرم افزار اجزای محدود غیرخطی COM3 گسترش یافته در دانشگاه توکیو استفاده شده است [20]. این نرم افزار با استفاده از مجموعه‌ای از اجزای مختلف توانایی الگو کردن رفتار غیرخطی خاک و سازه‌های بتونی، در حالت‌های مختلف بارگذاری را دارا می باشد. برای الگوسازی شمع از جزء الیافی (Fiber element) استفاده شده است [21]. در این جزء مقطع عضوها به تعدادی سلول تقسیم بنده شده و با توجه به موقعیت سلول‌ها، ویژگی‌های مصالح تعیف می‌شوند. برای شبیه‌سازی خاک پیرامونی شمع با توجه به رابطه‌های (۱)، (۲) و (۳) از فنرهای جدا از هم با فاصله‌های خاص استفاده شده است. سختی فنرها با توجه به میزان kh ، قطر شمع و فاصله فنرها از هم تعیین می‌شود. الگوی شمع در نیروی محوری افزاینده فشاری با نمو یک تن نیرو قرار گرفته تا کمانش در شمع رخ دهد. در شکل (۱۱) تغییر شکل جانبی شمع تحت نیروهای ۵۷ و ۵۸ تن ارائه شده است. همان‌طور که

نهفته با نتیجه‌های حاصل از تحلیل اجزای محدود، بار کمانشی شمع‌های ساختمان N.H.K به هر دو روش تعیین شده است. ساختمان N.H.K یک ساختمان ۴ طبقه بتونی بوده که بر روی ۷۴ شمع بتونی به قطر ۳۵ سانتی‌متر قرار داشته است. مانند شکل (۹) طول این شمع‌ها ۱۱ متر بوده که $\frac{9}{3}$ متر آن در لایه روانگرا قرار داشته است. پس از زلزله نیگاتا در سال ۱۹۶۴ مشاهده شد که همه شمع‌ها آسیب دیده‌اند [6]. بنا به محاسبات ارائه شده در مرجع [3] نیروی کمانشی هر یک از شمع‌ها برابر ۵۲۰ کیلونیوتون گزارش شده است.

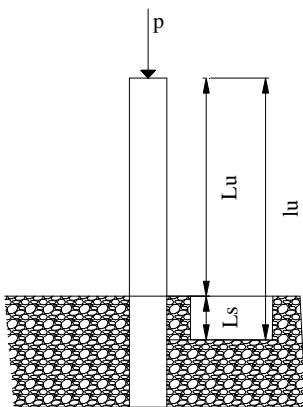


شکل ۹ چگونگی خرابی شمع ساختمان N.H.K [6]

الف: حل مساله با استفاده کمینه کارمایه نهفته کل
شرایط مرزی این شمع بنا به مرجع [6] به صورت گیردار در پایین و آزاد در بالا بوده است. میزان kh در خاک kh روانگرا بر اساس رابطه‌های (۲۶) و (۲۷) بر حسب قطر شمع و عدد SPT برابر 8000 کیلونیوتون بر متر مکعب محاسبه شده است. با حل مساله بار بحرانی شمع در مود اول برابر $57/2$ تن نیرو بدست آمده است. در شکل مود

$$l_u = L_s + L_u \quad (31)$$

که l_u طول آزاد برای محاسبه بار کمانشی و L_s طول مهار نشده شمع است.



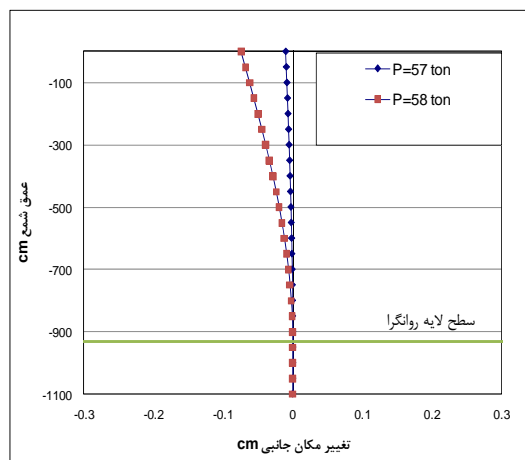
شکل ۱۲ شکل شماتیک طول آزاد و طول لازم برای گیرداری برای شمع

مقدار k_h را می‌توان بر اساس پیشنهاد API-RP2A- Amirican Petroleum Institute-Recommended (WSD Practice for Planning, Designing and Constructing Fixed Offshore Platforms—Working Stress [23]) از نمودار شکل (۱۳) و یا به توصیه ACI543R-00 مقادیر داده شده در جدول (۱) تعیین کرد. ACI543R-00 مقادیر داده شده در جدول (۲) را محافظه کارانه می‌داند [22].

جدول ۲ توصیه ACI برای k_h در خاک‌های مختلف [22]

نوع خاک	k_h , lb/in ³	k_h , kN/m ³
ماسه سست	۱/۵	۴۰۷
ماسه متوسط	۱۰	۲۷۱۰
ماسه متراکم	۳۰	۸۱۴۰
سیلت	۰/۴-۳	۱۰۹-۸۱۴
خاک نباتی	۰/۲	۵۴
رس		γS_u

مشاهده می‌شود، این شمع مذکور در بار ۵۸ تن چهار ناپایداری جانبی ناشی از کمانش شده و بار محاسبه شده از روش اجزای محدود در هماهنگی به نسبت خوبی با بار محاسبه شده به روش تحلیلی می‌باشد.



شکل ۱۱ تغییر شکل جانبی شمع در نیروی فشاری ۵۷ و ۵۸ تن

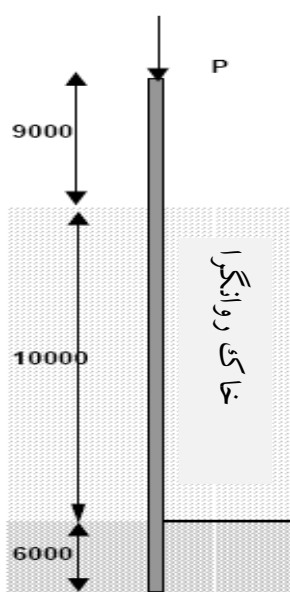
بررسی طول لازم برای گیرداری شمع

همان طور که در شکل (۱۲) دیده می‌شود، در بسیاری از موردها، بخشی از شمع در ناحیه بالایی به صورت مهار نشده قرار دارد. همچنین، در موردهایی که شمع از یک لایه خاک با آمادگی روانگرایی عبور می‌کند، در این ناحیه با توجه به نبود مهار جانبی، توانایی کمانش دارد. طول این لایه بیانگر طول مهار نشده شمع می‌باشد. شرایط مرزی انتهای شمع وابسته به میزان قرارگیری شمع در خاک غیر روانگرا است (شکل (۱۲)). مطابق آینین نامه ACI543R-00 طول ناحیه عبور کننده از لایه غیر روانگرا (Ls) برای فراهم کردن گیرداری از رابطه زیر به دست می‌آید [22]:

$$L_s = 1.8 \times \sqrt[5]{\frac{EI}{k_h}} \quad (30)$$

که در آن EI سختی خمشی شمع و k_h ضریب افقی واکنش بستر است. با توجه به رابطه (۳۰) طول آزاد برای محاسبه بار کمانشی از رابطه زیر به دست می‌آید:

لایه بندی خاک نیز در شکل (۱۴) آمده است.

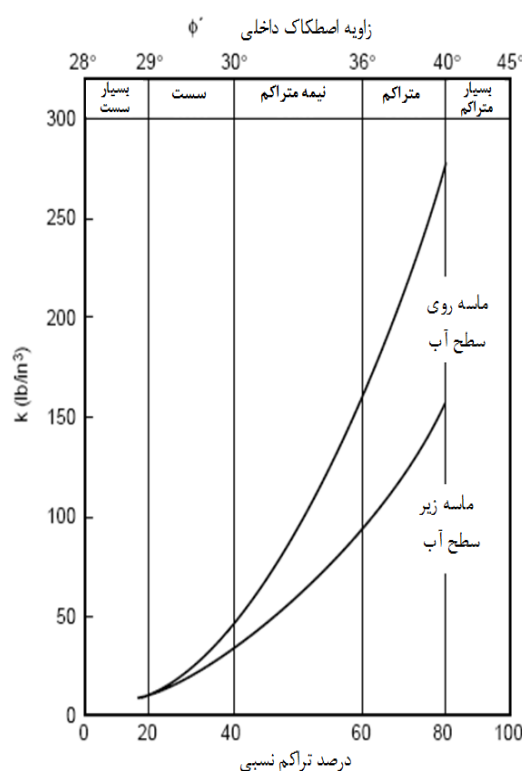


شکل ۱۴ ویژگی‌های لایه‌های خاک در پل شووا [3]

پس از الگوسازی شمع به صورت انتهای گیردار و سر از Fixed-Sway نتیجه‌های زیر به دست آمد:

نیروی کمانشی بحرانی (P_{cr}): KN $\frac{3443}{64}$, طول $\frac{3443}{64} \text{ m}$, طول لازم برای گیرداری: $\frac{21}{43} \text{ m}$ - $\frac{19}{43} \text{ m}$

همان‌گونه که مشاهده می‌شود، طول L_s به دست آمده از این برنامه در حدود $\frac{2.43}{2.63} = 0.92$ طول پیشنهادی است که رابطه ACI محافظه‌کارانه به نظر می‌رسد. لازم به یادآوری است در این محاسبه سختی خاک روانگرا به صورت محافظه‌کارانه برابر صفر فرض شده است. شکل (۱۵) مود اول کمانش شمع به دست آمده از برنامه و مود خرابی مشاهده شده در محل را نشان می‌دهد.

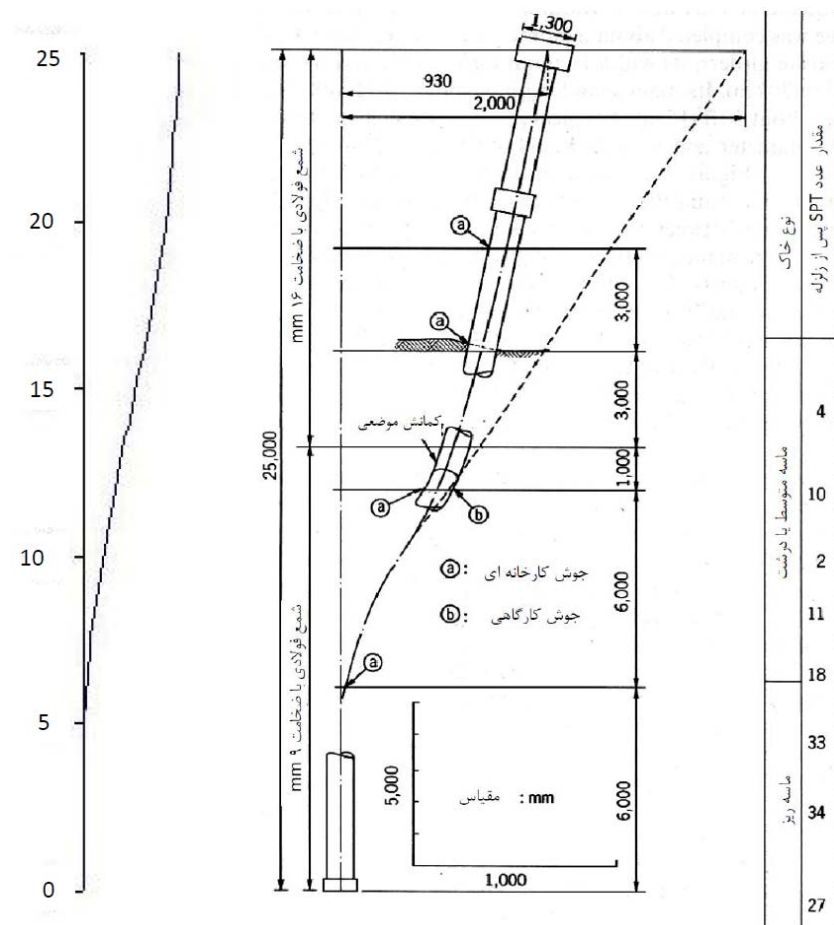


شکل ۱۳ نمودار محاسبه ضریب واکنش بستر [23]

برای وارسی این رابطه با استفاده از برنامه نوشته شده در خاک‌های لایه‌ای از شمع پل شووا استفاده شده است. ویژگی‌های این شمع در جدول (۳) آمده است:

جدول ۳ ویژگی‌های شمع به کار رفته در پل شووا

طول (m)	۲۵
نوع شمع	فولادی
قطر خارجی (m)	۰/۶۰۹
قطر داخلی (m)	۰/۵۹۱
ضریب کشسانی (GPa)	۲۱۰
K_h بر اساس API (MN/m^3)	۲۴
I (m^4)	۷/۶۳E-۴
L_s (m)	۲/۶۳



شکل ۱۵ مود اول کمانش شمع و مود خرابی شمع [3]

نسبت با ψ مشخص می‌شود و از رابطه زیر به دست می‌آید:

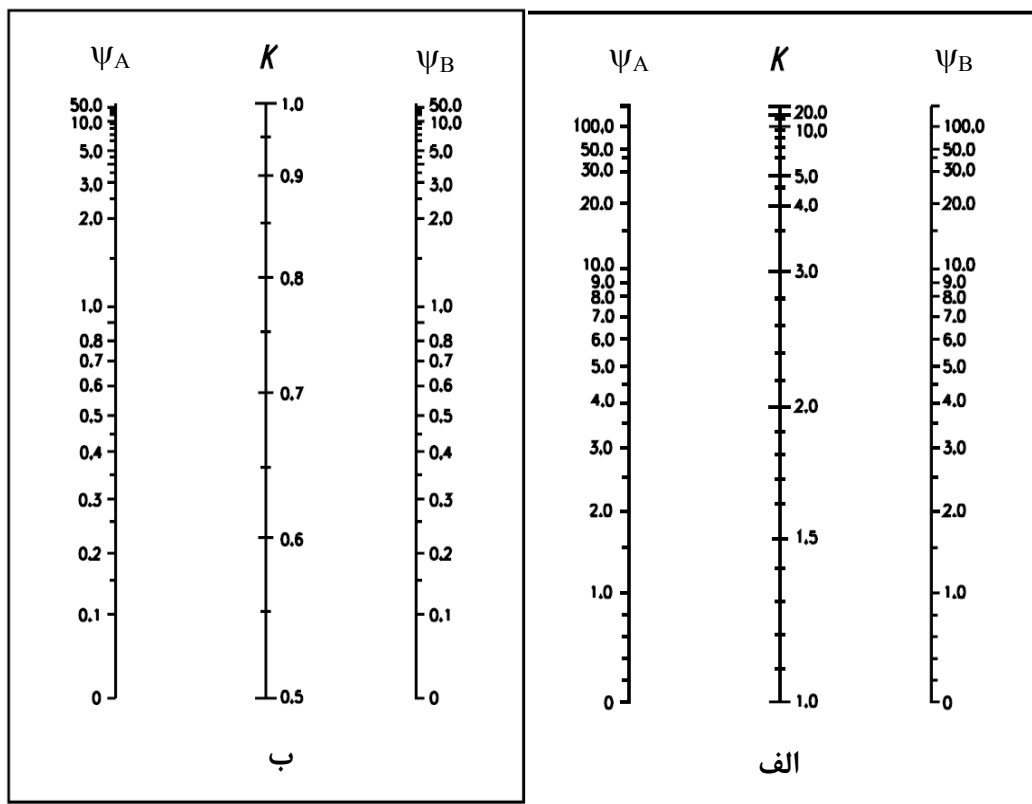
$$\psi = \frac{\sum K_c}{\sum K_b} = \frac{\sum EI_c / L_c}{\sum EI_b / L_b} \quad (32)$$

که در واقع سختی دورانی هر یک از جزء‌های متصل به گره بر اساس روش توزیع لنگر و شبیه افت برابر $4EI/L$ که ضریب ۴ در رابطه (۳۲) از صورت و مخرج ساده شده است. با محاسبه این نسبت در دو انتهای ستون میزان ضریب طول مؤثر با استفاده از نموگراف‌های شکل (۱۶) بدست می‌آید [24].

روش پیشنهادی برای برآورد طول مؤثر شمع در خاک با لایه روانگرای سطحی

تا کنون برای محاسبه طول مؤثر شمع پژوهش‌های بسیار محدودی صورت گرفته است. همچنان که رابطه‌های آیین‌نامه‌ای هم برای محاسبه این طول وجود ندارد. بنابراین، در این پژوهش تلاش شده رابطه‌هایی که برای محاسبه طول مؤثر ستون در قاب‌ها وجود دارد، گسترش داده شود تا با استفاده از این رابطه‌ها طول مؤثر شمع به دست آید.

ضریب طول مؤثر یک ستون در قاب تابعی از نسبت سختی ستون و تیرهای متصل به آن است. این



شکل ۱۶ نمودار مربوط به محاسبه ضریب طول مؤثر

(الف) ستون بدون حرکت جانبی (ب) ستون با حرکت جانبی [24]

در این رابطه E_c ضریب کشسانی بتن، I_g لنگر لختی مقطع ترک نخورده و β_d ضریبی است برای منظور کردن اثرات خزش بر بتن و فولاد در بارهای همیشگی ACI مقدار $0.6/0$ را برای حالتی که بار جانبی همیشگی وجود دارد و مقدار صفر را برای بار جانبی که همیشه نیست، پیشنهاد می‌کند.

Error! Reference source همچنین در رابطه L_u not found. شمع در لایه روانگرا است.

I_s لنگر لختی خاک غیر روانگرا است که از تغییر شکل شمع پیشگیری می‌کند و همانند تیر متصل به شمع کار می‌کند. بنابراین، منطقی است که بیشترین ضخامتی از

با توجه به اینکه در شمع‌ها، خاک نقش اتکای جانبی را بازی می‌کند، باید رابطه (۳۲) به شکلی اصلاح شود که به جای سختی تیرها، سختی لایه‌ای از خاک در دو انتهای بخش روانگرا در نظر گرفته شود. بنابراین، در این مقاله رابطه (۳۲) به صورت زیر پیشنهاد می‌شود:

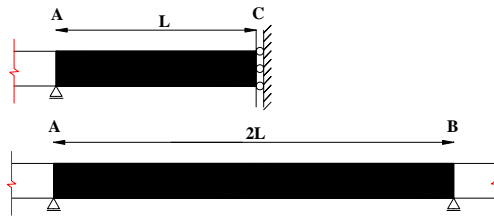
$$\psi = \frac{\gamma EI / L_u}{I_s k_h} \quad (33)$$

که در آن:

EI سختی خمی شمع است که برای شمع‌های $ACI-318-05$ رابطه زیر را ارائه می‌دهد [25]:

$$EI = \frac{0.4 E_c I_g}{1 + \beta_d} \quad (34)$$

نظر به صورت دو برابر در نظر گرفته می‌شود. بنابراین معادله شبیه افت بین دو نقطه A و B به صورت زیر به دست می‌آید:



شکل ۱۷ نمایی از جزء قابی با مفصل برشی

$$M_A = \frac{2EI}{2L} \left(2\theta_A + \theta_B - \frac{3\delta_{AB}}{2L} \right) \pm FEM_A \quad (۳۹)$$

با توجه به تقارن و جهت مثبت دوران در روش شبیه افت (ساعتگرد) رابطه (۴۰) حاصل می‌شود:

$$\theta_A = -\theta_B \quad \& \quad \delta_{AB} = 0 \quad (۴۰)$$

با جایگذاری رابطه (۴۰) در رابطه (۳۹) و

ساده‌سازی این رابطه به دست می‌آید:

$$M_A = \frac{EI}{L} \theta_A \pm FEM \Rightarrow \gamma = 1 \quad (۴۱)$$

با توجه به موردهای یاد شده در بالا، می‌توان با محاسبه γ در دو انتهای شمع از رابطه (۳۳)، مقدار ضربی طول مؤثر را از نمودار شکل (۱۶) و با کمک آن به سادگی نیروی کمانشی شمع را مانند ستون به دست آورد.

سنجهش درستی روش پیشنهادی

برای بررسی این موضوع یک شمع بتنی به طول ۲۶ m با قطرهای متغیر در نظر گرفته شده است که در پایین گیردار و در بالا به صورت آزاد و یا مفصل برشی می‌باشد. خاک به صورت دو لایه اصلی که لایه بالایی، ماسه سست با آمادگی روانگرایی و لایه پایینی ماسه متراکم و یا رس در نظر گرفته شده است. سختی جانی و اصطکاکی در لایه روانگرا به صورت محافظه‌کارانه، صفر

خاک که برای گیرداری شمع لازم است، برای محاسبه لنگر لختی خاک مورد استفاده قرار گیرد. این موضوع بر اساس عامل‌های مورد نظر بررسی شده و در این پژوهش به تأیید رسیده است. بنابراین، برای محاسبه آن رابطه زیر پیشنهاد می‌شود:

$$I_s = \frac{d \cdot h^3}{12} \quad (۴۵)$$

که در آن d قطر شمع و h برابر کمترین Ls و ضخامت لایه غیرروانگراست.

محاسبه ضریب γ

همان‌گونه که بیان شد ضریب سختی دورانی (γ) در حالتی که اتصال دو سر جزء صلب است برابر ۴ می‌باشد. ولی در شمع این ضریب باید با توجه به شرایط تکیه‌گاهی دو سر شمع تعیین شود.

الف: حالت آزاد برای سر شمع در این حالت با نوشتن رابطه شبیه افت برای دو سر شمع این رابطه‌ها را می‌توان نوشت:

$$M_f = \frac{2EI}{L} \left(2\theta_f + \theta_r - \frac{3\delta}{L} \right) \pm FEM_{fr} \quad (۴۶)$$

$$M_r = \frac{2EI}{L} \left(2\theta_r + \theta_f - \frac{3\delta}{L} \right) \pm FEM_{rf} \quad (۴۷)$$

که در آن زیرنویس‌های f و r به ترتیب بیان گر انتهای آزاد و گیردار شمع هستند. با توجه به شرایط تکیه‌گاهی Mf و Mr صفر است، پس می‌توان نوشت:

$$M_r = \frac{2M_r - M_f}{2} = \frac{3EI}{L} \left(\theta_r - \frac{\delta}{L} \right) \pm (FEM_{rf} - 0.5FEM_{fr}) \Rightarrow \gamma = 3 \quad (۴۸)$$

ب: در حالت مفصل برشی (Fix-Sway) برای سر شمع در این حالت برای محاسبه سختی دورانی نخست با توجه اصل تقارن در قاب‌ها، مانند شکل (۱۷)، جزء مورد

برای حالت آزاد و مفصل برشی به عنوان ۷ در بالا در نظر گرفته شد. سپس با استفاده از نمودار شکل (۱۶)، و در اختیار داشتن ۷ در دو انتهای شمع، مقادرهای ضریب طول موثر با استفاده از نمودار (K_{AB}) نیز محاسبه شد. با مقایسه مقادرهای λ و K_{AB} مشاهده شد که هماهنگی قابل توجه‌ای بین دو روش وجود دارد. شماری از نتیجه‌های حاصل شده در جدول (۴) وابسته به حالت آزاد و جدول (۵) وابسته به حالت مفصل برشی آمده است.

فرض شده است. در هر الگو با استفاده از برنامه تهیه شده، مقدار P_{cr} محاسبه شد و از روی آن مقدار طول موثر با استفاده از رابطه زیر بدست آمد:

$$L_e = \pi \sqrt{\frac{EI}{P_{cr}}} \quad (42)$$

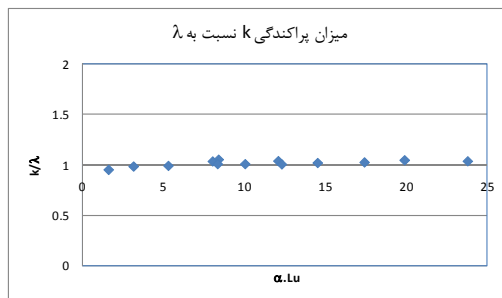
میزان ضریب طول مؤثر برابر نسبت طول موثر به طول آزاد است که به صورت تحلیلی بدست می‌آید (λ). همچنین، مقدار ۷ در پایین شمع با استفاده از رابطه (۳۳) بدست آمد و مقادرهای ۱۰۰ و صفر به ترتیب

جدول ۴ نتیجه‌های وابسته به حالت آزاد برای سرشمع

۷	۶	۵	۴	۳	۲	۱	شماره نمونه
1	0.6	0.3	0.5	0.5	0.5	0.5	قطر شمع (m)
24000	24000	16000	16000	32000	24000	20000	$kh(kN/m^3)$
468212.98	60680.40	3792.53	29263.31	29263.31	29263.31	29263.31	$EI(kN.m^2)$
3576.00	761.39	88.30	602.05	388.56	262.68	615.35	$P_{cr}(KN)$
15	12	9	9	12	15	9	$L_u(m)$
35.95	28.05	20.59	21.90	27.26	33.16	21.66	$L_e(m)$
2.397	2.337	2.288	2.434	2.272	2.211	2.407	λ
3.261	2.167	1.350	2.031	1.768	1.873	1.942	$L_s(m)$
2.889	0.509	0.061	0.349	0.230	0.274	0.305	$I_s(m^4)$
93642.596	15170.101	1264.175	9754.437	7315.828	5852.662	9754.437	$3EI/L_u(kN.m)$
69340.48	12209.59	983.47	5585.32	7369.88	6568.78	6106.78	$I_s \times Kh(kN.m)$
100	100	100	100	100	100	100	ψ_{up}
1.35	1.24	1.29	1.75	0.99	0.89	1.60	ψ_{down}
2.37	2.31	2.33	2.47	2.24	2.21	2.43	K_{AB}
1.11	1.16	1.85	1.49	1.41	0.03	0.95	درصد اختلاف

جدول ۵ نتیجه‌های وابسته به حالت مفصل برشی برای سر شمع

۷	۶	۵	۴	۳	۲	۱	شماره نمونه
1	0.6	0.3	0.5	0.5	0.5	0.5	قطر شمع (m)
24000	24000	16000	16000	32000	24000	20000	$kh(kN/m^3)$
468212.98	60680.40	3792.53	29263.31	29263.31	29263.31	29263.31	$EI(kN.m^2)$
14306.97	3076.71	375.92	2494.49	1585.65	1054.29	2458.85	$Pcr(KN)$
15	12	9	9	12	15	9	$Lu(m)$
17.97	13.95	9.98	10.76	13.50	16.55	10.84	$Le(m)$
1.198	1.163	1.109	1.196	1.125	1.103	1.204	λ
3.26	2.17	1.35	2.03	1.77	1.87	1.94	$Ls(m)$
2.889	0.509	0.061	0.349	0.230	0.274	0.305	$Is(m^4)$
31214.20	5056.70	421.39	3251.48	2438.61	1950.89	3251.48	$3EI/L_u(kN.m)$
69340.48	12209.59	983.47	5585.32	7369.88	6568.78	6106.78	$I_s \times Kh(kN.m)$
0	0	0	0	0	0	0	Ψ_{up}
0.45	0.41	0.43	0.58	0.33	0.30	0.53	Ψ_{down}
1.17	1.14	1.15	1.19	1.12	1.1	1.19	K_{AB}
2.35	1.95	3.72	0.47	0.42	0.31	1.18	درصد اختلاف

شکل ۱۸ میزان پراکندگی k نسبت به λ در حالت آزاد برای سر شمعشکل ۱۹ میزان پراکندگی k نسبت به λ در حالت مفصل برشی برای سر شمع

در این جدول‌ها سطرهای اول تا سوم ورودی برنامه، سطرهای چهارم تا ششم خروجی برنامه است. یعنی λ ضریب طول مؤثر به دست آمده از برنامه است. همچنین، سطرهای هفتم تادوازدهم مرحله‌های محاسبه k_{AB} یا همان ضریب طول مؤثر با استفاده از نمودار است. با مقایسه مقدارهای مختلف λ و k_{AB} و محاسبه میزان اختلاف، نتیجه می‌شود که برای مهار کمانش شمع به راحتی می‌توان از نمودارهای ستون استفاده نمود. برای مقایسه بهتر نتیجه‌ها میزان پراکندگی λ و k_{AB} بر حسب یک عامل بدون بعد محاسبه شده است. این عامل بدون بعد به صورت $\alpha \times L \times m^{-1}$ در نظر گرفته شده است که در آن α از رابطه به دست می‌آید که واحد آن m^{-1} است. نتیجه‌ها برای حالت آزاد در شکل (۱۸) و برای حالت مفصل برشی در شکل (۱۹) مشاهده می‌شود.

که در آن x فاصله از سر شمع، M لنجر در فاصله x ، p نیروی محوری وارد بر نوک شمع، K سختی فنر معادل، δ تغییر مکان در نقطه $x=0$ ، δ_1 تغییر مکان در نقطه $x=\frac{t_s}{4}$ و δ_2 تغییر مکان در نقطه $x=\frac{3t_s}{4}$ است. با تقسیم دو طرف رابطه (۴۳) بر EI و جای گذاری "y" به جای $\frac{M}{EI}$ این رابطه به دست می‌آید.

$$\begin{aligned} y'' &= \frac{p}{EI}(\delta - y) - \frac{K}{2EI}\delta_1\left(x - \frac{t_s}{4}\right) - \frac{K}{2EI}\delta_2\left(x - \frac{3t_s}{4}\right) \Rightarrow \\ y'' + \frac{p}{EI}y + \frac{K}{2EI}x(\delta_1 + \delta_2) - \frac{p}{EI}\delta - \frac{K \cdot t_s}{8EI}(\delta_1 + 3\delta_2) &= 0 \end{aligned} \quad (44)$$

شرایط مرزی معادله دیفرانسیل بالا به شرح زیر است:

$$\begin{aligned} y(0) = \delta &\quad \text{and} \quad y\left(\frac{t_s}{4}\right) = \delta_1 \quad \text{and} \quad y\left(\frac{3t_s}{4}\right) = \delta_2 \\ y(L + t_s) = 0 &\quad \text{and} \quad y'(L + t_s) = 0 \end{aligned} \quad (45)$$

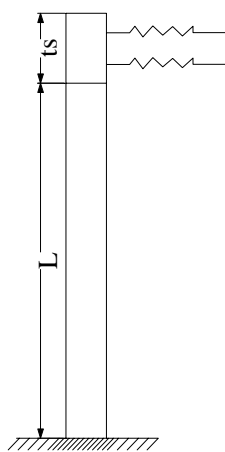
که در این معادلات L طول ناحیه روانگرا به علاوه طول لازم برای گیرداری یا L_s در لایه پایینی است.

با حل این معادله به صورت عددی مقدارهای مختلف ضریب طول مؤثر به ازای مقدارهای مختلف $\frac{KL^3}{EI}$ به دست می‌آید. مقدارهای ضریب طول مؤثر به ازای سختی و ضخامت زیاد لایه فوقانی به سمت ۰/۵ میل می‌کند. در شکل (۲۱) پاسخ این معادله مشاهده می‌شود. همچنین در شکل (۲۲) بزرگنمایی این پاسخ در مقدارهای ابتدایی $\frac{KL^3}{EI}$ آشکار است.

نکته قابل توجه در این حالت کاهش نیروی محوری شمع در اثر اصطکاک لایه فوقانی است. به این معنی که نسبت نیروی محوری شمع در لایه روانگرا به نیروی وارد شده کوچکتر از یک است که این نسبت β_p نامیده می‌شود. با توجه به این موضوع به راحتی می‌توان نتیجه گرفت نیروی کمانشی به دست آمده از روش تحلیلی β_p برابر کوچکتر از نیروی محاسبه شده از روی نمودار است.

روش پیشنهادی برای برآورد طول موثر شمع در خاک با لایه روانگرای غیر سطحی

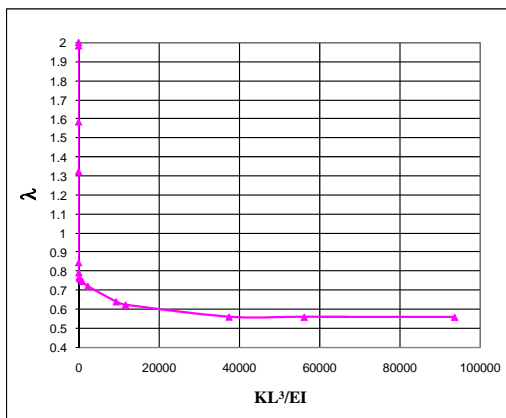
در بسیاری موردها لایه روانگرا میان دو لایه غیر روانگرا قرار گرفته و شمع با عبور از لایه روانگرا بر لایه زیرین متکی می‌شود. در این حالت خاک لایه فوقانی بسته به ضخامت و سختی آن شرایط مرزی متفاوتی را برای شمع ایجاد می‌کند که در تعیین طول کمانشی آن باید مورد توجه قرار گیرد. در این حالت لایه فوقانی خاک مانع تغییر شکل جانبی خاک می‌شود و اگر میزان سختی و ضخامت آن زیاد باشد، در برابر دوران سر شمع نیز مقاومت می‌کند (حالت نیمه گیردار). بنابراین، در این حالت نمی‌توان مانند حالت‌های قبلی از نمودار استفاده کرد. زیرا وجود و یا نبود تغییر مکان جانبی که به سختی و ضخامت لایه فوقانی بستگی دارد، مشخص نیست. از این رو، برای تحلیل این حالت لایه خاک فوقانی به صورت دو فنر با سختی معادل $\frac{k_h \times d \times t_s}{2}$ و در ۰/۲۵ و ۰/۷۵ لایه فوقانی در نظر گرفته شد تا افزون بر مقاومت در برابر تغییر مکان، مقاومت خاک در برابر دوران شمع نیز لحاظ شود. سپس، معادله دیفرانسیل زیر برای نسبت‌های مختلف $\frac{KL^3}{EI}$ به صورت عددی حل شد و مقدارهای مختلف طول مؤثر به دست آمد. این معادله دیفرانسیل بر اساس شکل (۲۰) به شرح زیر است.



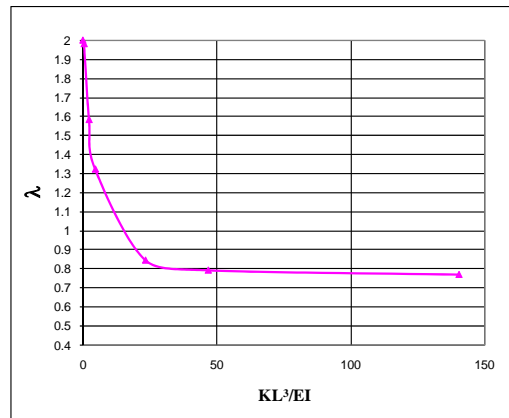
شکل ۲۰ چگونگی الگوی خاک بالایی با دو فنر

از قبل وارد شده است. همانطور که مشاهده می شود، درصد اختلاف نیروی کمانشی حاصل از تحلیل P_{cr1} با نیروی کمانشی حاصل از حل معادله دیفرانسیل P_{cr2} حد قابل قبول قرار دارد. بنابراین، می توان از این روش برای محاسبه نیروی کمانشی شمع استفاده کرد.

حال مانند حالت قبل یک شمع به طول ۲۶ متر با مقطع های مختلف در نظر گرفته شده و تأثیر لایه فوکانی بر بار کمانشی مورد مطالعه قرار می گیرد. مقایسه نتیجه های حاصل از تحلیل و این نمودار در جدول ۶ آمده است. در این جدول برای راحتی کار تنها مقایسه نیروهای کمانشی انجام گرفته است. همچنین ضریب β_p



شکل ۲۲ بزرگنمایی پاسخ معادله دیفرانسیل در مقدارهای ابتدایی



شکل ۲۱ نمودار پاسخ معادله دیفرانسیل

جدول ۶ مقایسه نتیجه های حاصل از تحلیل با نتیجه های حاصل از حل معادله دیفرانسیل

۷	۶	۵	۴	۳	۲	۱	شماره نمونه
1	0.6	0.3	0.5	0.5	0.5	0.5	d (m)
3000	32000	8000	8000	16000	4000	24000	k_{hu} (kN/m ³)
20000	24000	24000	20000	32000	16000	24000	k_{hb} (kN/m ³)
468213	60680	3793	29263	29263	29263	29263	EI (kN.m ²)
2	5	3	2	1	1	1	t_s (m)
40157	15739	1805	2040	4376	2556	2892	P_{cr1} (kN)
6	9	6	15	9	12	12	Lu (m)
3.38	2.17	1.24	1.94	1.77	2.03	1.87	L_{sb} (m)
6000	96000	7200	8000	8000	2000	12000	K (kN/m)
10.6	2203.0	721.8	1329.5	341.3	188.8	1094.8	$KL^3 / 3EI$
0.985	0.9	0.96	0.96	0.98	0.99	0.97	β_p
41241	14949	1699	1922	4219	2525	2793	P_{cr2} (kN)
2.70	5.02	5.89	5.79	3.59	1.21	3.43	درصد اختلاف

کدام نمودار را (با وجود تغییر مکان جانبی و یا بدون وجود آن) برای محاسبه ضریب طول مؤثر به کار برد. برای حل این مشکل با حل معادله دیفرانسیل کمانش با در نظر گرفتن دو فنر (برای مهار تغییر مکان و دوران قسمت بالایی) در بالای شمع، بر اساس مقدارهای مختلف نسبت سختی محوری فنر و سختی جانبی شمع، مقادیر مختلف برای ضریب طول مؤثر محاسبه شد که در نمودارشکل (۲۱) آمده است. این مقدارها بین ۰/۵ برای حالت آزاد، تا ۰/۰۵ برای حالت گیردار کامل متغیر است و بر اساس آن می‌توان نیروی کمانشی شمع را محاسبه کرد. برای محاسبه نیروی کمانشی شمع با در نظر گرفتن سختی خاک در لایه‌بندی دقیق‌تر نیز باید معادله دیفرانسیل کمانش حاصل از کمینه کردن کارمایه نهفته کل در خاک‌های لایه‌ای حل شود. همان‌طور که اشاره شد برنامه‌ای برای این کار تهیه شده است که به وسیله آن نیز می‌توان نیروی کمانشی شمع را در محدوده خطی به صورت دقیق محاسبه کرد.

جمع‌بندی و نتیجه گیری

در این پژوهش روشی برای محاسبه نیروی کمانشی شمع‌ها در خاک‌های چند لایه و با حضور لایه روانگرا و شرایط مرزی مختلف ارائه شد. مطابق با روش پیشنهادی ابتدا باید فاصله لایه روانگرا از سطح زمین مشخص شود. در صورتی که لایه روانگرا از سطح زمین آغاز شود، می‌توان از روش اول و با استفاده از نمودار بر اساس میزان ۷/۷ محاسبه شده در انتهای پایینی، ضریب طول مؤثر محاسبه می‌شود و از روی آن نیروی کمانشی به‌دست آید. در صورتی که لایه روانگرا از یک عمق مشخص شروع شود، خاک غیر روانگرای بالایی تغییر شکل بالای شمع را محدود می‌کند و دیگر نمی‌توان از نمودار (نمودار) برای محاسبه ضریب طول مؤثر استفاده کرد. زیرا در این حالت با توجه به سختی و ضخامت لایه غیر روانگرای بالایی، علاوه بر تغییر مکان بالای شمع دوران آن نیز در بالا محدود می‌شود و شرایط تکیه‌گاهی قسمت بالایی شمع بین حالت آزاد تا گیردار کامل متغیر است. بنابراین، به صورت دقیق نمی‌توان تعیین کرد که

مراجع

1. Bhattacharya, S., Dash, S. R., and Adhikari, S., "On the mechanics of failure of pile-supported structures in liquefiable deposits during earthquakes", *Current Science*, 94 (5), (2008).
2. JRA: Japanese Road Association, Specifications for highway bridge, Part V, Seismic Design, (1996,1980,1972).
3. Bhattacharya, S., "Pile instability during earthquake liquefaction," PhD thesis, University of Cambridge, Cambridge, UK, Sep, (2003).
4. Gabr, M., A., Wang, J., J., Zhao, M., "Buckling of piles with general power distribution", *Journal of Geotechnical and Geoenvironmental Engineering*, ASCE, Vol. 123, no. 2, pp. 123-130, (1997).
5. Bhattacharya S., Bolton M., "Errors in design leading to pile failures during seismic liquefaction," *Fifth International Conference on Case Histories in Geotechnical Engineering*, New York, NY, Apr. (2004).
6. Hamada, M., "Large ground deformations and their effects on lifelines: 1983 Nihonkai-Chubu earthquake," Case Studies of liquefaction and lifelines performance during past earthquake, Technical Report NCEER-92-0001, Volume-1, Japanese case studies, National Centre for Earthquake Engineering Research, Buffalo, NY, (1992).
7. Ishihara, K., "Liquefaction and flow failure during earthquakes," Rankine lecture, *Geotechnique* 43, No 3, pp 351-415, (1993).
8. Bhattacharya, S., Madabhushi, S. P. G., Bolton, M., "Pile instability during earthquake liquefaction,"

- ASCE Engineering Mechanics Conference (EM2003), Seattle, 16-18th July, (2003).
9. Kumar, P. S., Karuppaiah K. B., Parameswaran P., "Buckling behavior of partially embedded reinforced concrete piles in sand," *ARPJ Journal of Engineering and Applied Sciences*, 2 (4), Aug. (2007).
 10. Shanker, K., Basudhar, P. k., Patra, N. R., "Buckling of Piles under Liquefied Soil Conditions," *geotechnical and Geotechnical and Geoenvironmental Engineering*, Vol 25, pp. 303-313, (2007).
 11. Nath, U.K., Maheshwari, B.K., Ramasamy, G., "PILE-SOIL MODELING CONSIDERING LIQUEFACTION –AN OVERVIEW," *Advances in Bridge Engineering*, March, (2006).
 12. Finn W.D.L. and Fujita N. "Piles in liquefiable soils: seismic analysis and design issues," *Soil Dynamics and Earthquake Engineering*, Vol 22, pp.731-742, (2002).
 13. Hwang J.L., Kim C.Y., Chung C.K., Kim M.M., "Viscous fluid characteristics of liquefied soils and behavior of piles subjected to flow of liquefied soils," *Soil Dynamics and Earthquake Engineering*, Vol. 26, pp. 313-323, (2006).
 14. Terzaghi, K. "Evaluation of coefficients of subgrade reaction," *Geotechnique*, Vol. 5, pp. 297-326, (1955).
 15. Rowe, P. W. "The single pile subject to horizontal force," *Geotechnique*, Vol. 6, no. 2, pp. 70-85, (1956).
 16. Meera, R. S., Shanker K., Basudhar P. K., "Flexural response of piles under liquefied soil conditions," *Geotechnical and geological Engineering*, Springer, 25 (3), pp. 409-422, (2007).
 17. Ishihara, K. "Geotechnical aspects of the 1995 Kobe earthquake," *In: Proceedings of the 14th international conference on soil mechanics and foundation engineering*. Terzaghi Oration, Hamburg, 2047–2073, (1997).
 18. Tokimatsu, K. "Performance of pile foundations in laterally spreading soils," *Proc 2nd international conf. on Earthquake Geotechnical Engineering*, Lisbon, Portugal, 957–964, (1999).
 19. Bhattacharya, S., Madabhushi, S. P. G., "A critical review of methods for pile design in seismically liquefiable soils," *Bull earthquake Engineering*, Springer, no. 6, pp. 407-446, (2008).
 20. Maekawa, K., "General Information for Com3 Version 9.11 in Multi-Com," Department of Civil Engineering, University of Tokyo, Jul. (2006).
 21. Maekawa K., Pimanmas, A., Okamura, H., "Nonlinear Mechanics of Reinforced Concrete," SPON Press, (2003).
 22. ACI 543R-00, "Design, Manufacture, and Installation of Concrete Piles", Reported by ACI Committee 543, (2000).
 23. American Petroleum Institute "API Recommend Practice 2A-WSD (RP 2A-WSD)" Twenty-first Edition, December (2000).
 24. مستوفی نژاد، داود، سازه های بتن آرم (جلد اول)، انتشارات ارکان دانش، اصفهان، (۱۳۸۶).
 25. ACI 318-05, "Building Code Requirements for Structural Concrete and Commentary-ACI 318R-05", American Concrete Institute, Farming Hills, MI, USA, (2005).